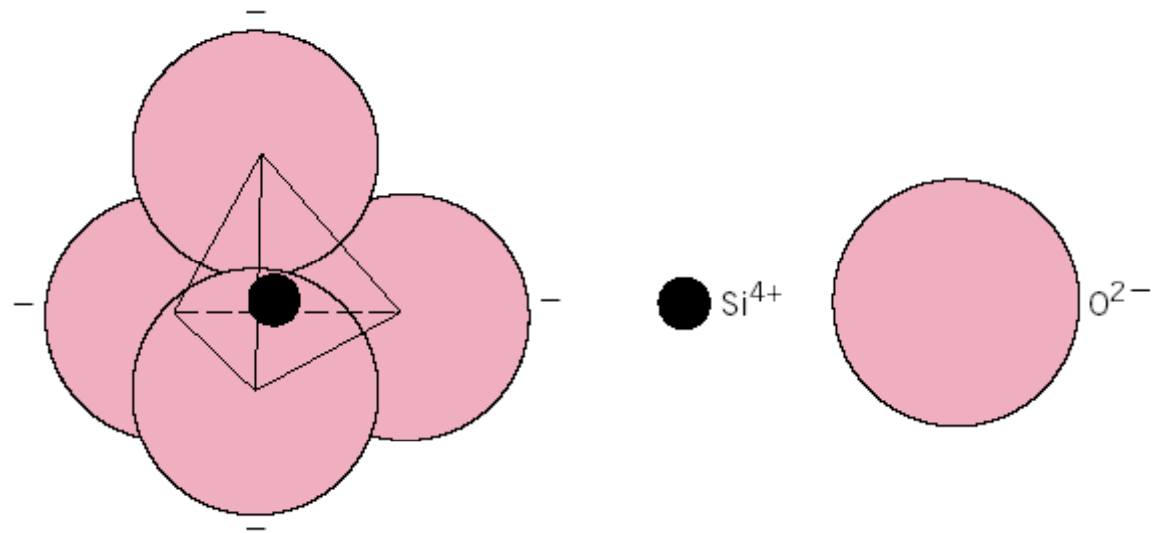


# Silicate Ceramics

- Silicate : Si + O + 기타 원소
- Structure :  $\text{SiO}_4^{4-}$  tetrahedron is easier than unit cell
- Si-O 결합 : 공유결합성 (49%) → 방향성, 결합에너지 ↑

**Table 3.2** For Several Ceramic Materials, Percent Ionic Character of the Interatomic Bonds

<i>Material</i>	<i>Percent Ionic Character</i>
$\text{CaF}_2$	89
$\text{MgO}$	73
$\text{NaCl}$	67
$\text{Al}_2\text{O}_3$	63
$\text{SiO}_2$	51
$\text{Si}_3\text{N}_4$	30
$\text{ZnS}$	18
$\text{SiC}$	12



$\text{SiO}_4^{4-}$  tetrahedron(사면체)

# Crystal Structure of SiO<sub>2</sub>

- SiO<sub>2</sub> : silicon dioxide or **silica**

for SiO<sub>2</sub>

Si<sup>4+</sup> : 0.041 nm

O<sup>2-</sup> : 0.140 nm

$$\frac{r_{\text{Si}^{4+}}}{r_{\text{O}^{2-}}} = 0.293 \Rightarrow \text{가능한 배위수 비} \\ \rightarrow 4:2, 2:1$$

※ 배위수를 최대 하려는 경향 있음

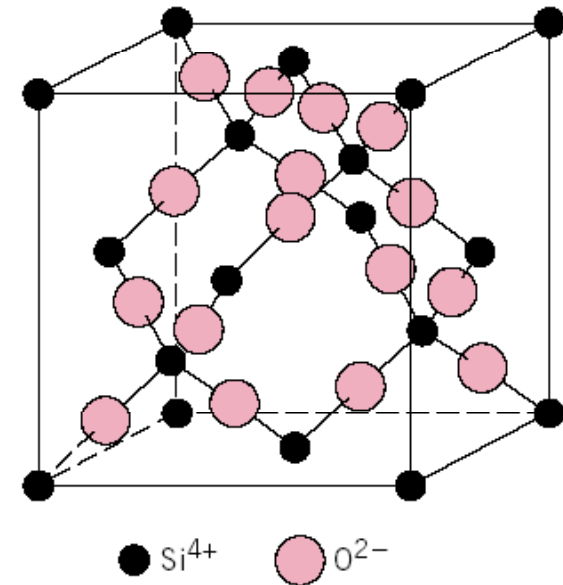
⇒ ∴ 이온주위에 반대 전하의 이온을 효율적으로 배치 가능

∴ 가장 안정한 4:2 배위를 가짐

⇒ Si<sup>4+</sup> 이온 주위에 4개의 O<sup>2-</sup> 이온 배치

⇒ O<sup>2-</sup> 이온 주위에 2개의 Si<sup>4+</sup> 이온 배치

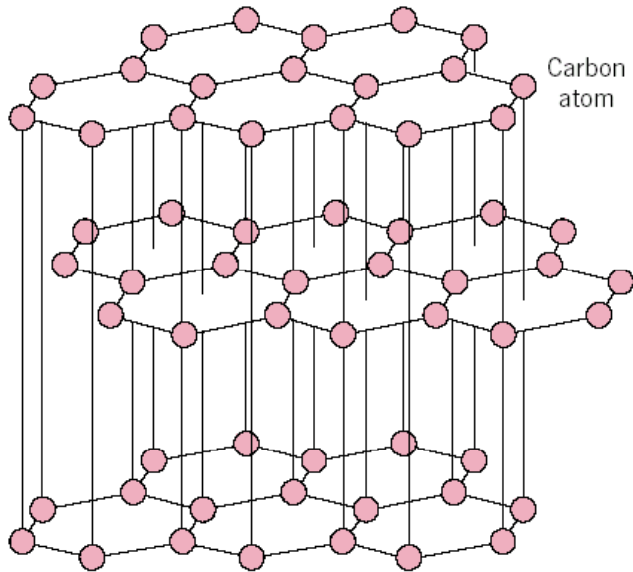
⇒ 크리스토팔라이트 (cristobalite) 구조



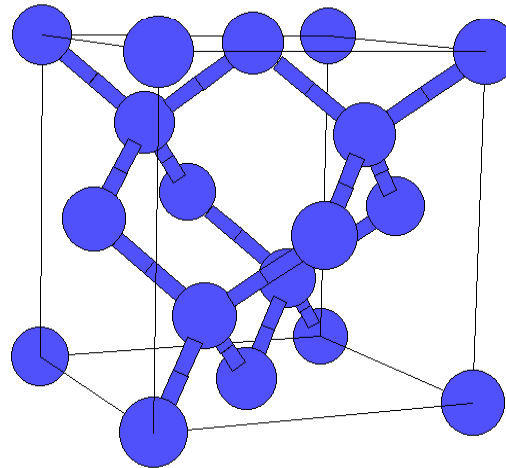
# Carbon

→ 같은 탄소 원소로만 이루어져 있으나 상(결정구조)이 다른 단체

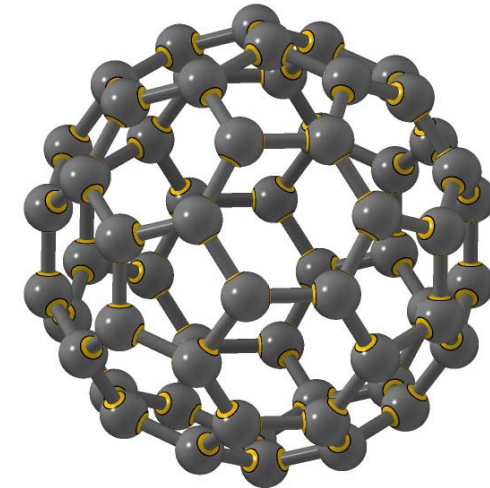
{ 흑연 (graphite)  
 다이아몬드 (diamond) **Polymorphism (Allotropy)**  
 플러렌 (fullerene)



흑연



다이아몬드



플러렌

## Graphite

원자좌표 :  $000$ ,  $00\frac{1}{2}$ ,  $\frac{1}{3}\frac{2}{3}0$ ,  $\frac{2}{3}\frac{1}{3}\frac{1}{2}$

(0001)면 적층 → ABABAB or ACACAC

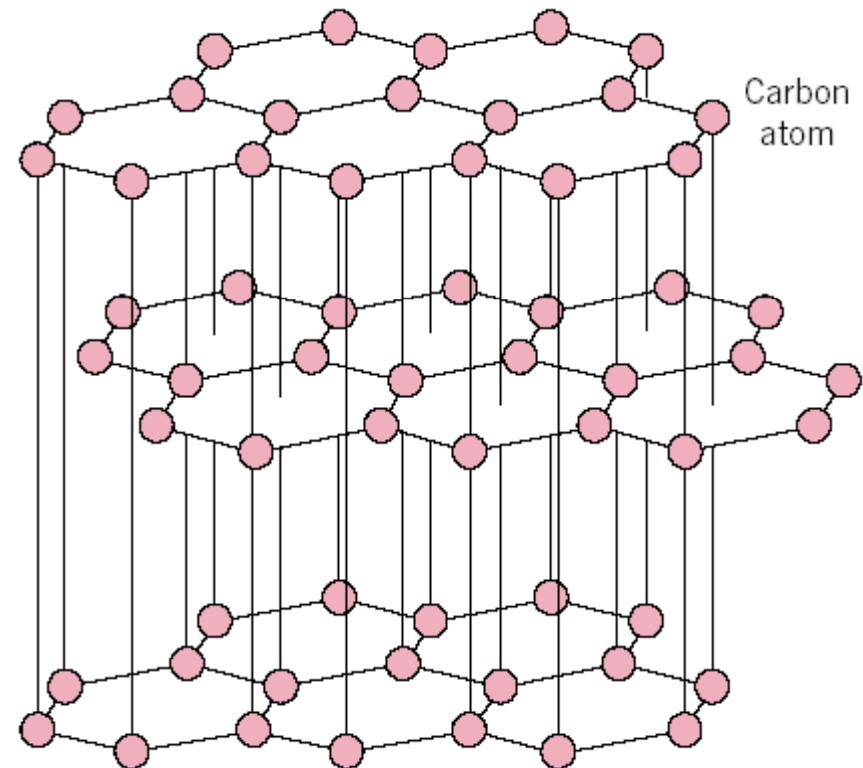
배위수 = 3개

최인접원자까지의 거리 =  $\frac{1}{\sqrt{3}}a$

→ 0.142 nm

층간거리 = 0.335nm → C = 2 × 층간거리

→ 층상구조(윤활제)



## Diamond

원자좌표 :  $000, \frac{1}{4} \frac{1}{4} \frac{1}{4}$

최인접원자까지의 거리  $= \frac{\sqrt{3}}{4}a$

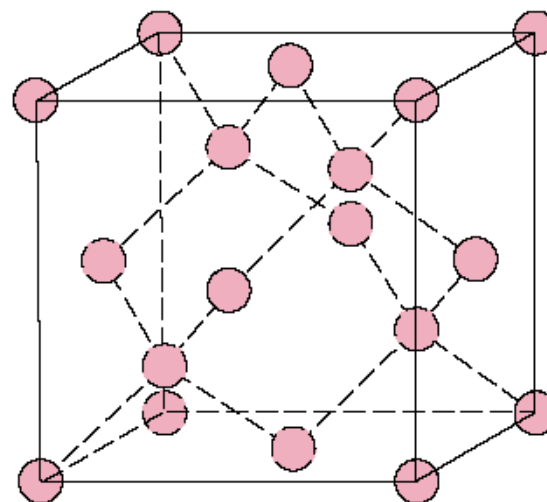
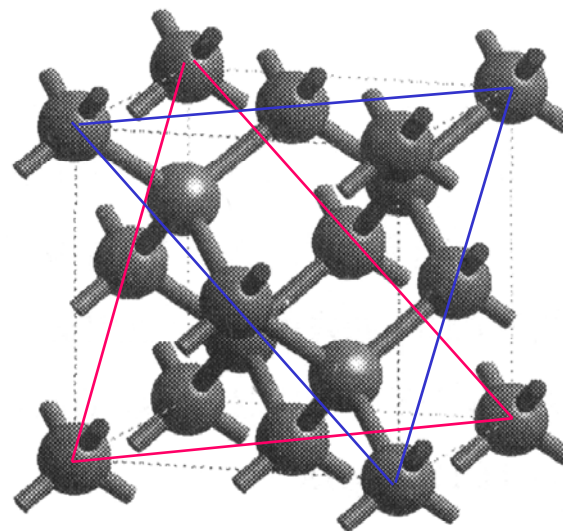
정사면체 → 배위수 = 4

(111)면 적층 → CAABBCCAABBC

$$APF = \frac{\sqrt{3}\pi}{16} = 0.34 \quad (\text{bcc의 반})$$

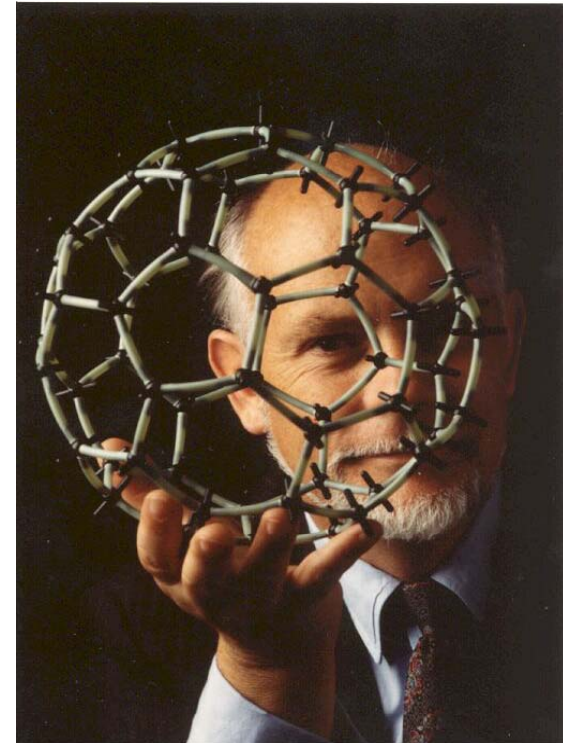
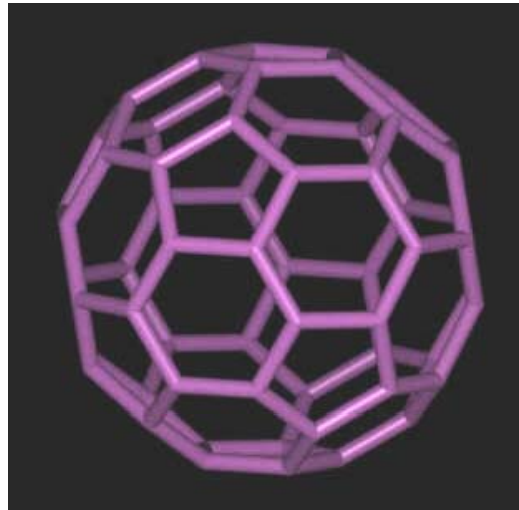
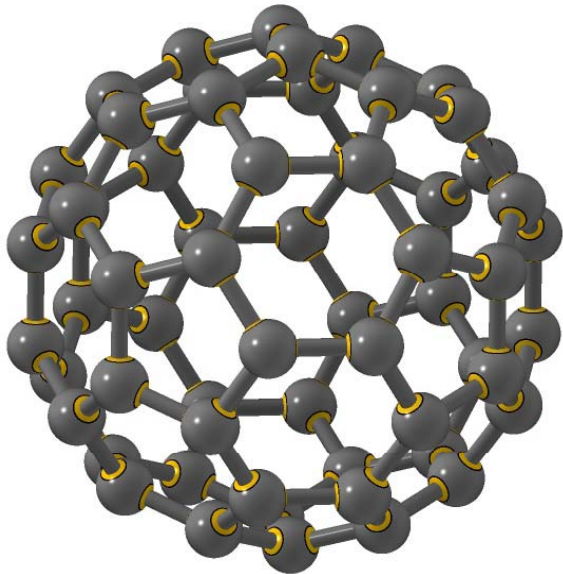
면심입방의 다이아몬드 영진  
→ 면심입방의  $1/4, 1/4, 1/4$  변위 구조

(예) Si, Ge, Sn...



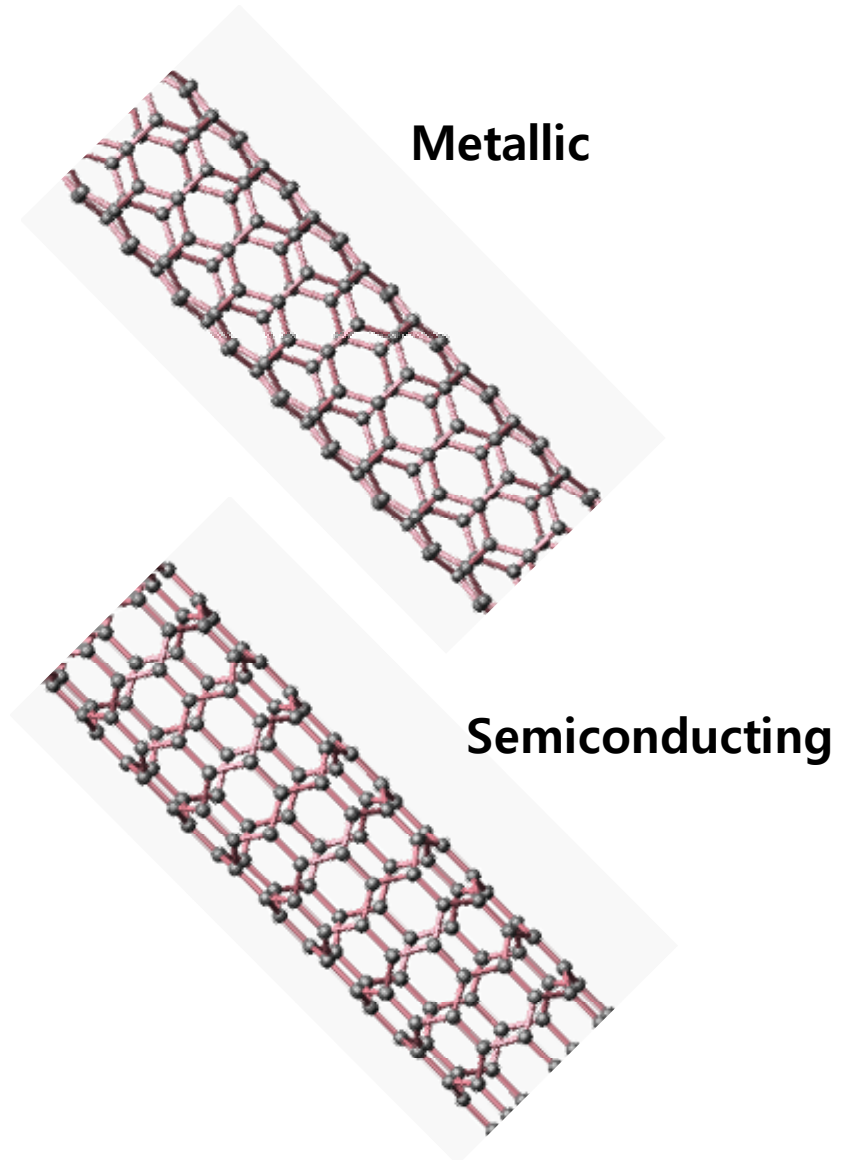
## Fullerenes

- $C_{60}$  (탄소원자 60개로 이루어진 구조)
- 1985년 Richard E. Smalley 발견
- 미국 건축가 Buckminster Fuller가 창안한 geodesic dome과 유사하여 이름을 따옴
  - "Buckminsterfullerene"
  - "Buckyball" 또는 "Fullerene"



## Nanotube

- Electrical Properties
- Mechanical Properties:



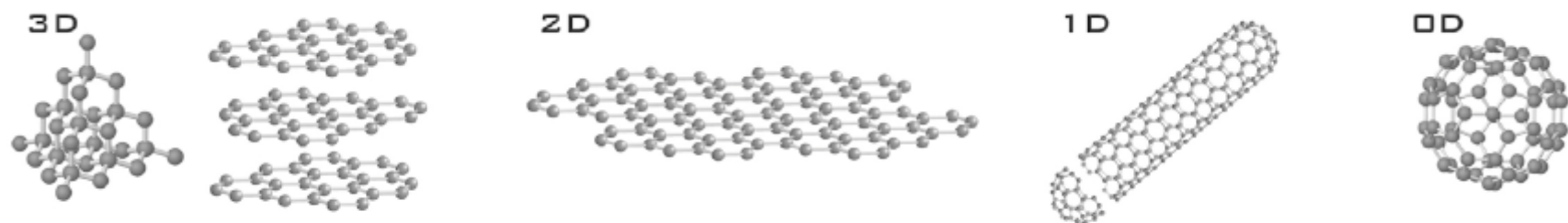
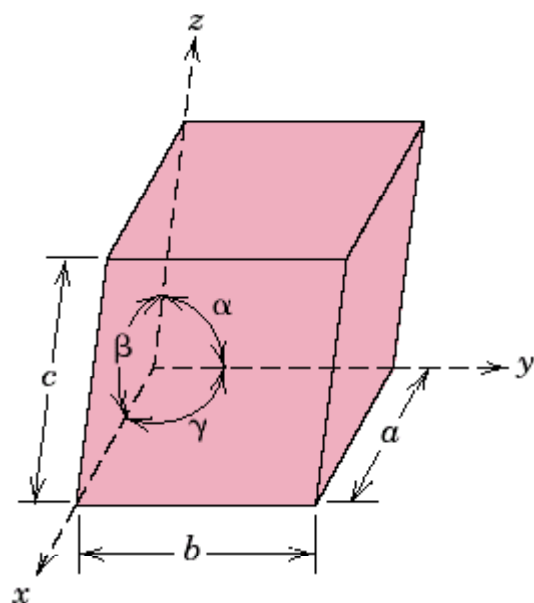


Fig. 1 Crystal structures of the different allotropes of carbon. (Left to right) Three-dimensional diamond and graphite (3D); two-dimensional graphene (2D); one-dimensional nanotubes (1D); and zero-dimensional buckyballs (0D). (Adapted and reprinted with permission from<sup>66</sup>. © 2002 Prentice Hall.)



# crystal system



**Table 3.6** Lattice Parameter Relationships and Figures Showing Unit Cell Geometries for the Seven Crystal Systems

Crystal System	Axial Relationships	Interaxial Angles	Unit Cell Geometry
Cubic	$a = b = c$	$\alpha = \beta = \gamma = 90^\circ$	
Hexagonal	$a = b \neq c$	$\alpha = \beta = 90^\circ, \gamma = 120^\circ$	
Tetragonal	$a = b \neq c$	$\alpha = \beta = \gamma = 90^\circ$	
Rhombohedral	$a = b = c$	$\alpha = \beta = \gamma \neq 90^\circ$	
Orthorhombic	$a \neq b \neq c$	$\alpha = \beta = \gamma = 90^\circ$	
Monoclinic	$a \neq b \neq c$	$\alpha = \gamma = 90^\circ \neq \beta$	
Triclinic	$a \neq b \neq c$	$\alpha \neq \beta \neq \gamma \neq 90^\circ$	

Crystal Lattice Structures - Microsoft Internet Explorer

파일(F) 편집(E) 보기(V) 즐겨찾기(A) 도구(T) 도움말(H)

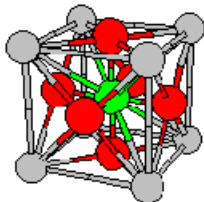
주소(D) http://cst-www.nrl.navy.mil/lattice/index.html

Crystal Home Strukturbericht Index Pearson Symbol Space Group Prototype Index FAQ References Other Sites

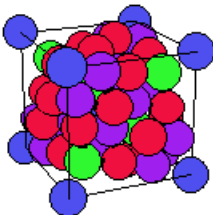
NRL Home M&TD Home CCM8 Home No Frames

Additions to the database? [Read this first.](#)

Questions? [See the FAQ](#)



# Crystal Lattice\* Structures



---

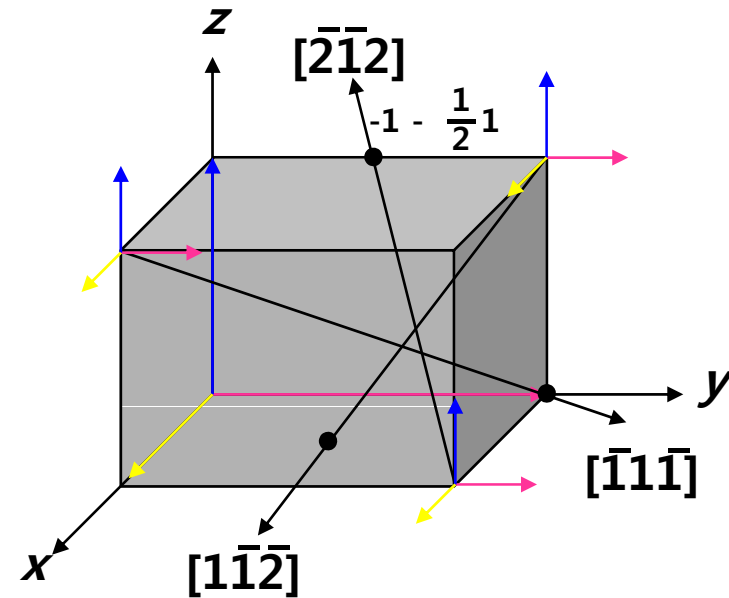
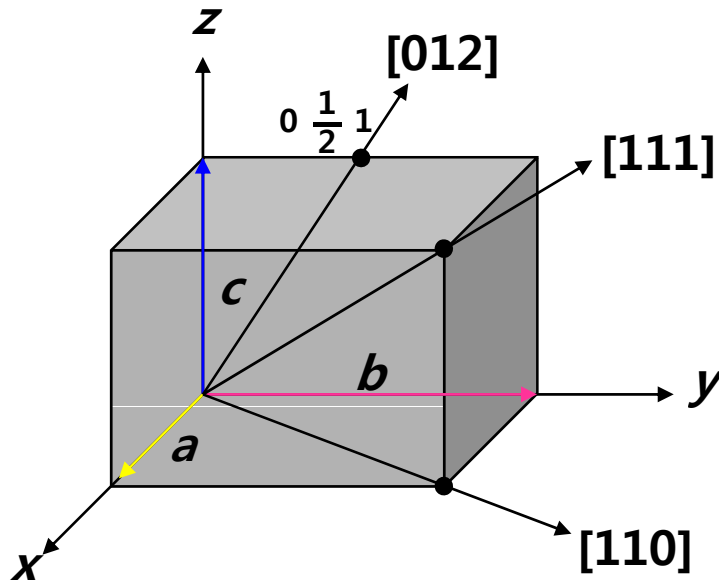
Indexed by	
<a href="#">Strukturbericht Designation</a>	<a href="#">Pearson Symbol</a>
<a href="#">Space Group</a>	<a href="#">Prototype</a>

---

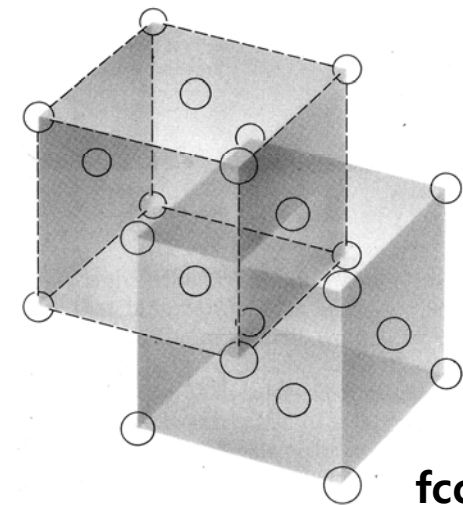
[The Crystal Structure of Intermetallic Alloy Phases](#)

---

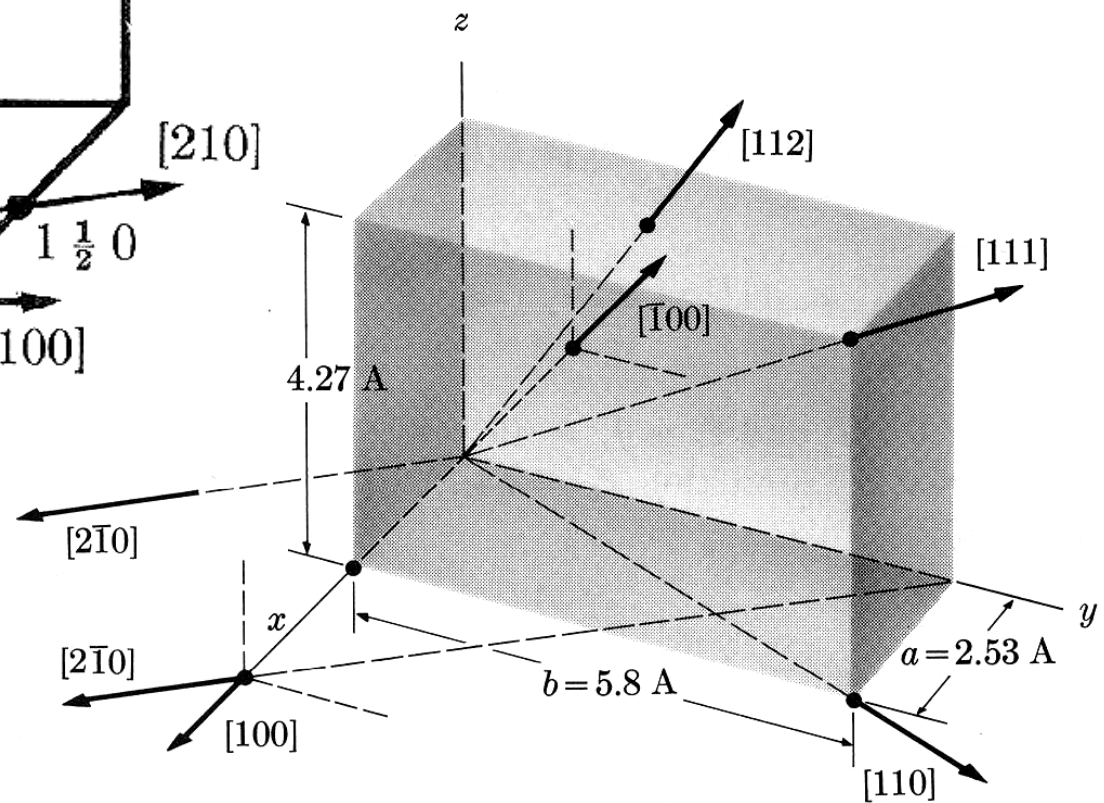
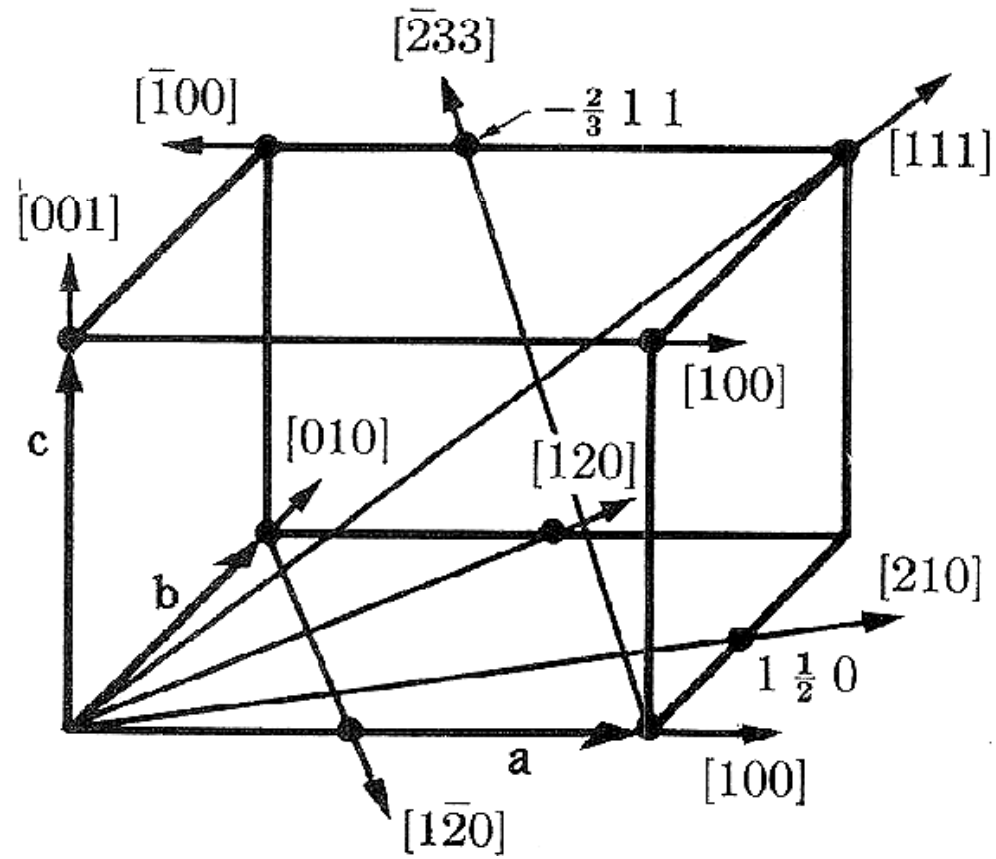
# Crystallographic Directions



※모든 격자점은 동등한 주위 환경을 가지므로  
모두 원점이 될 수 있다.  
→ 기준축의 설정이 관건

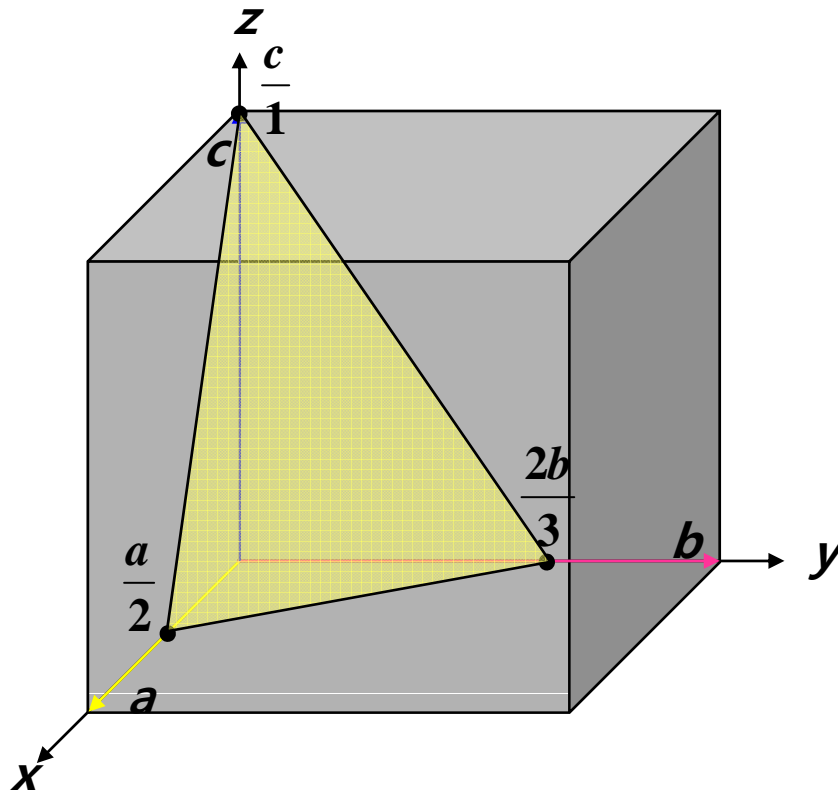


fcc 결정



# Crystallographic Plane

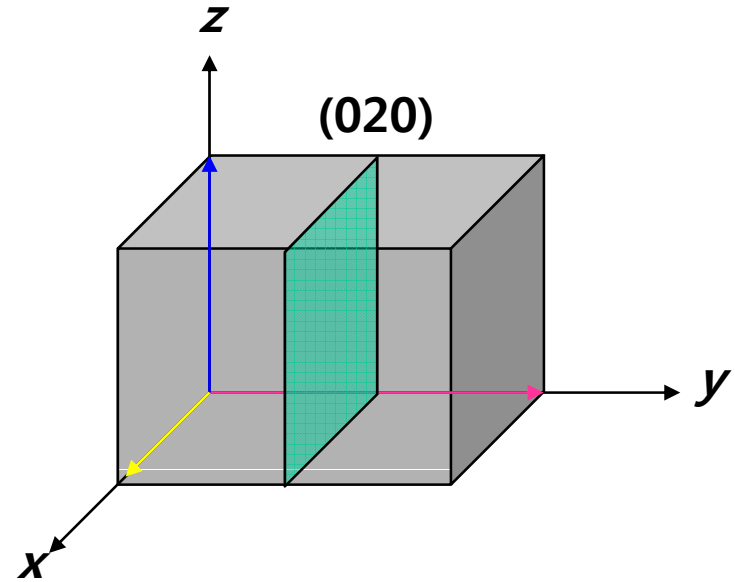
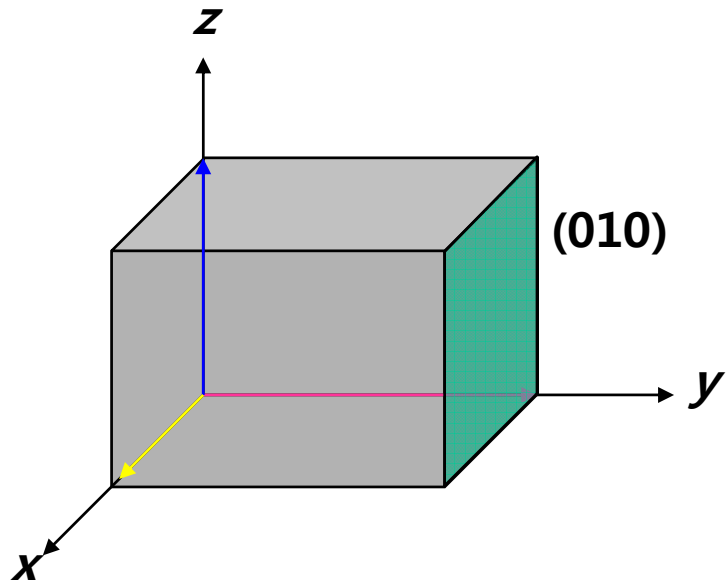
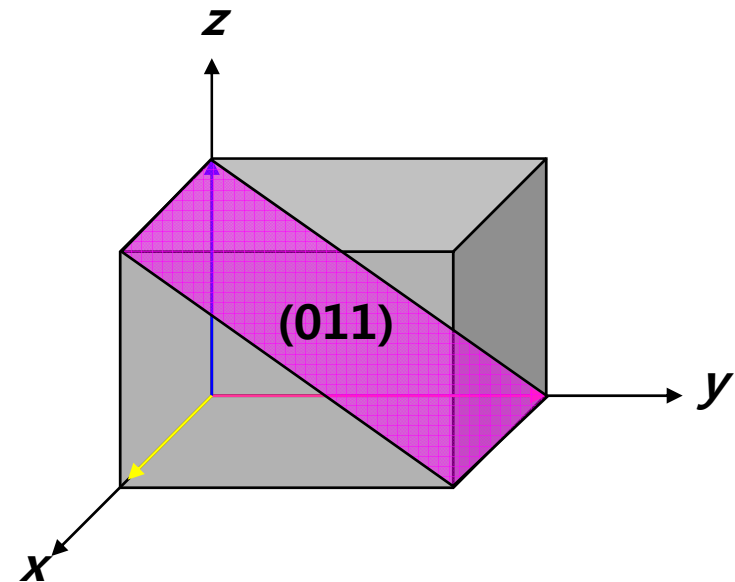
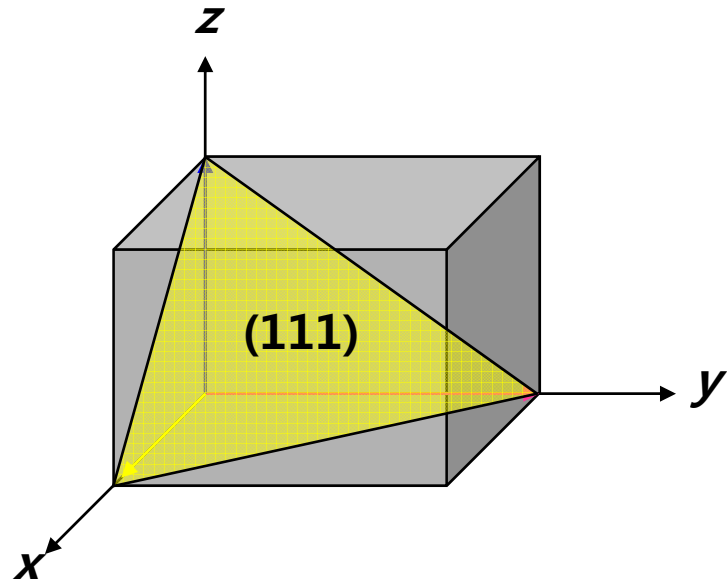
- $[hkl]$  방향에 수직인 면 또는 세 축과의 교차 형태로 표현
- 임의의 격자면이 원점에서 각각거리  $a/h$ ,  $b/k$ ,  $c/l$  만큼 떨어져 세 축과 만날 때 이 격자면을  $(h\ k\ l)$ 면이라 함.  $h, k, l$  은 정수
- 축과의 교점까지의 거리비의 역수를 간단한 정수비로 표현

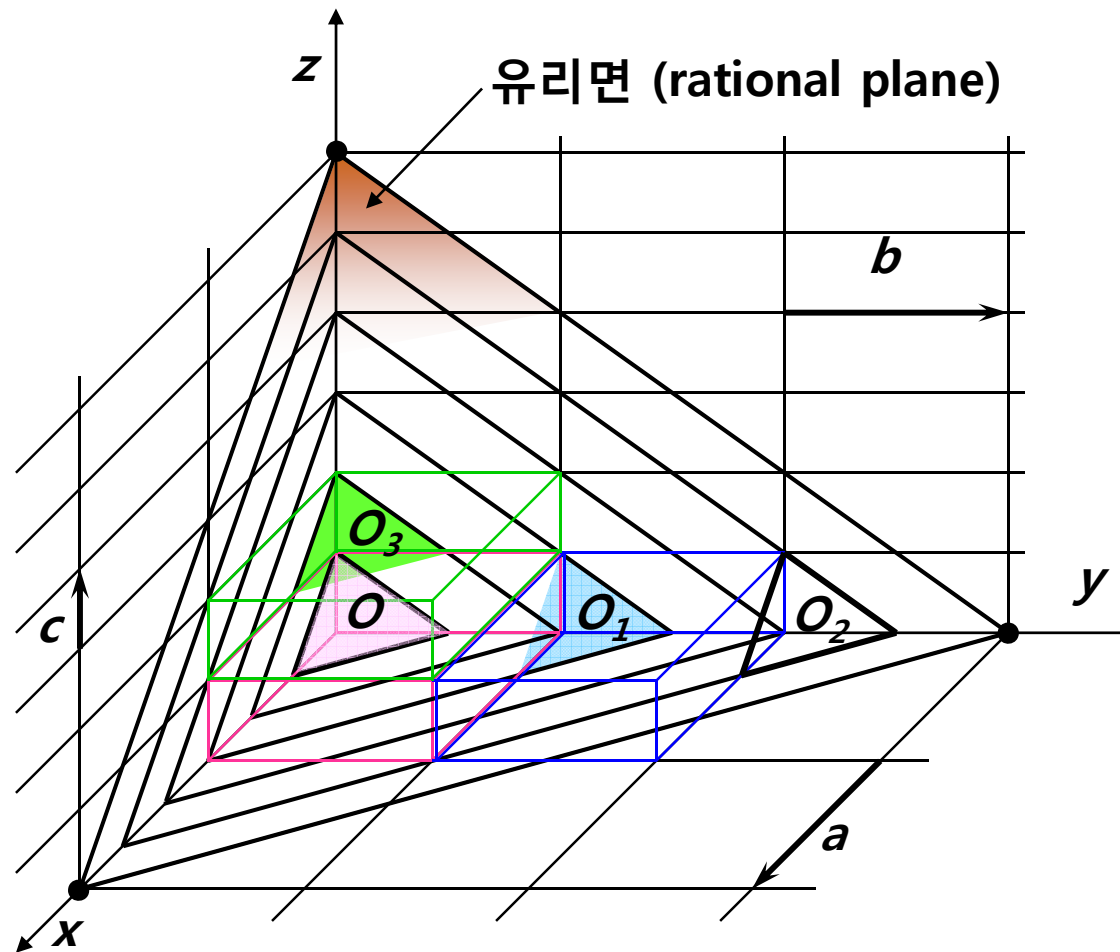


	$x$	$y$	$z$
→	$\frac{a}{2}$	$\frac{2b}{3}$	$\frac{c}{1}$
→	$\frac{a}{4}$	$\frac{b}{3}$	$\frac{c}{2}$

⇒ **(4 3 2)** 면

- ※ 축과 만나지 않는 경우
- 거리( $\infty$ )비의 역수 = 0
  - $(h\ k\ 0)$ ,  $(h\ 0\ 0)$  등과 같이 표현



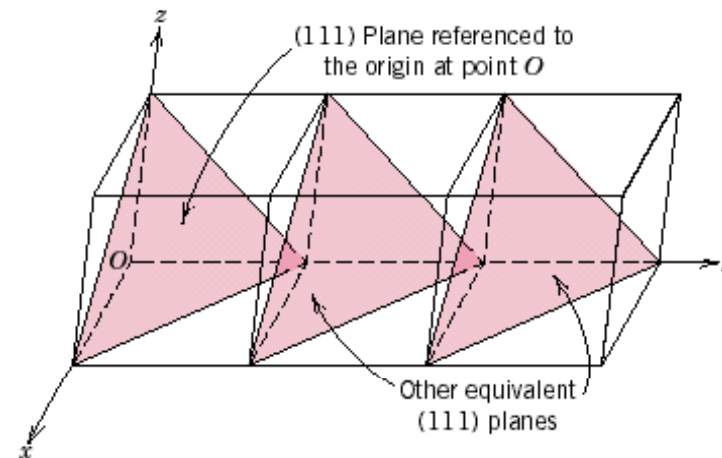
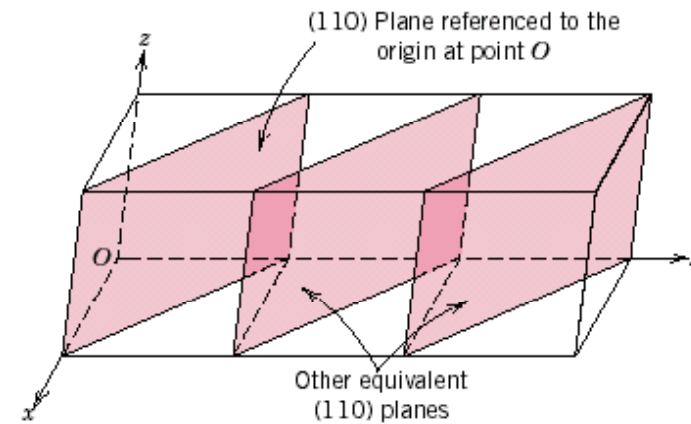
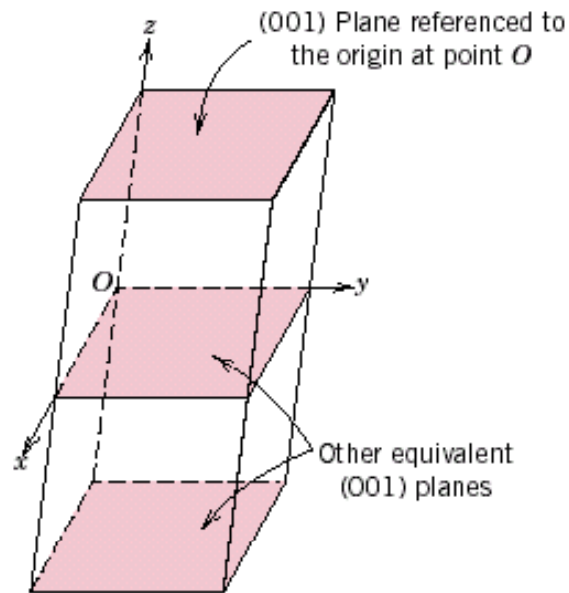


격자면 (321)

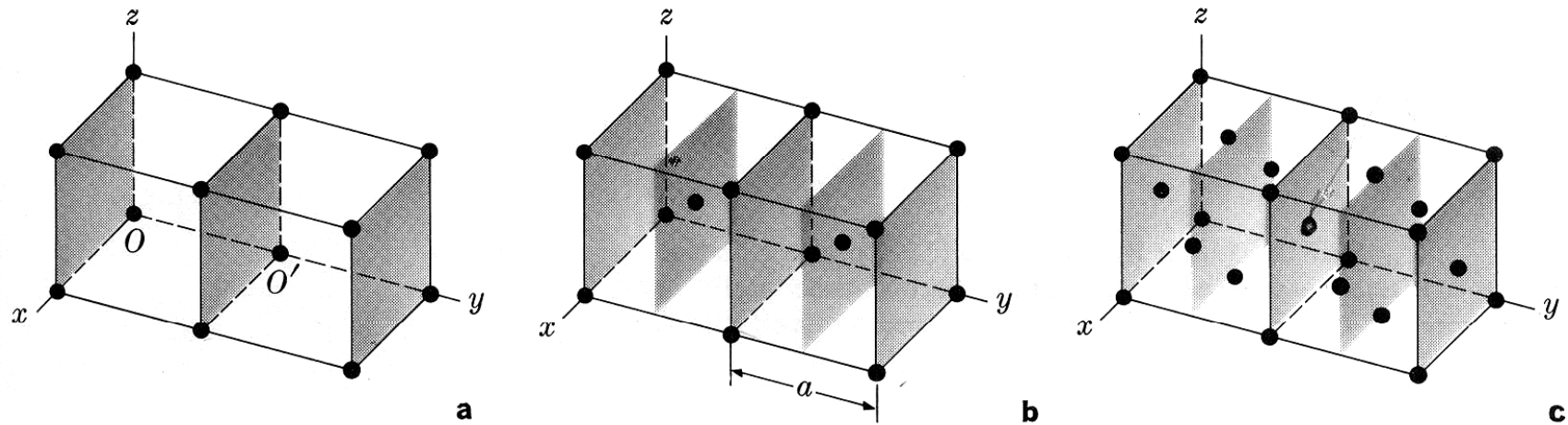
# equivalent plane

※모든 격자점은 동등한 주위 환경을 가지므로 모두 원점이 될 수 있다.

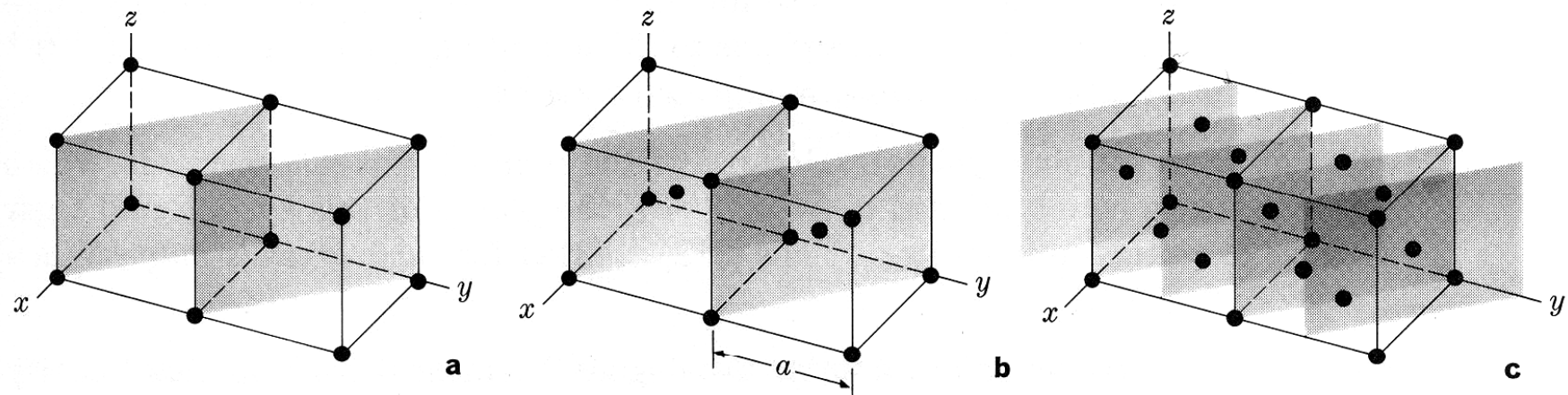
→ 기준축의 설정이 관건



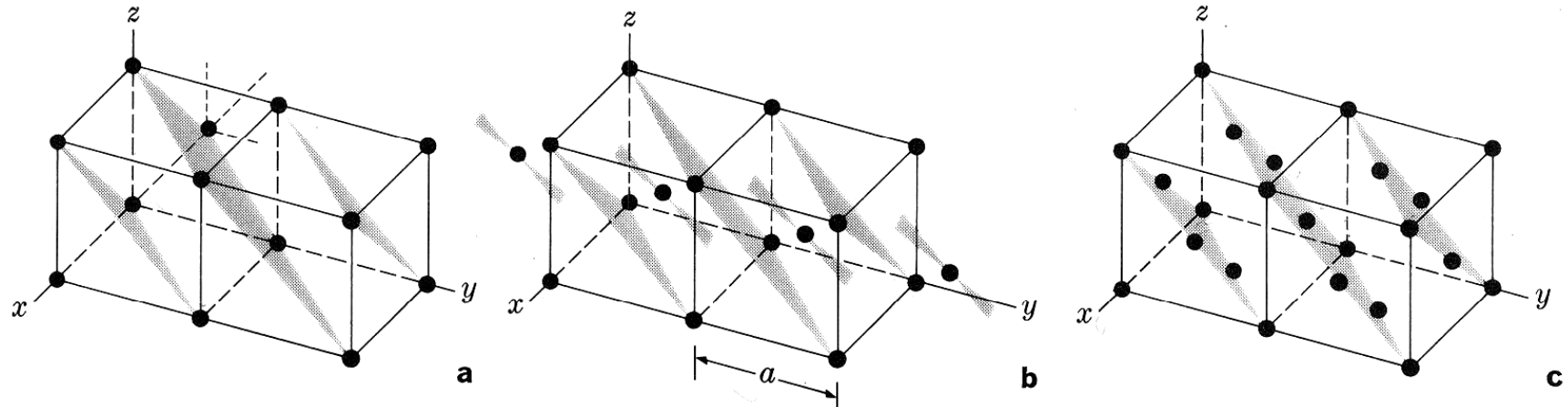




**5-13** (010) planes in cubic structures. (a) Simple cubic. (b) bcc. (c) fcc. [Note that the 020 planes included for bcc and fcc are equivalent to (010) planes.]

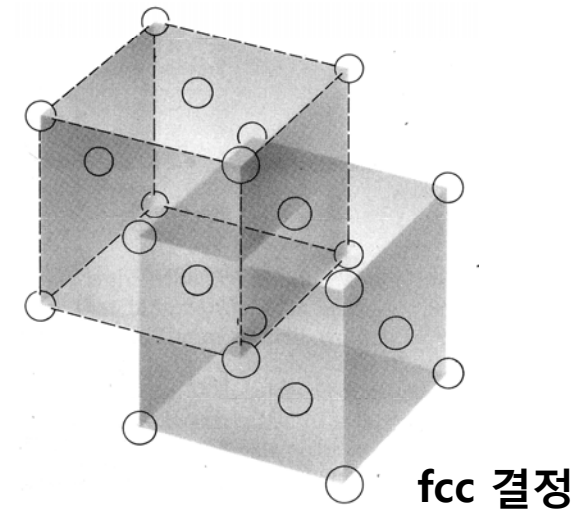


**5-14** (110) planes in cubic structures. (a) Simple cubic. (b) bcc. (c) fcc. [The 220 planes included for fcc are equivalent to (110) planes.]



**5-15**  $(\bar{1}11)$  planes in cubic structures. (a) Simple cubic. (b) bcc. (c) fcc. Negative intercepts are indicated by bars above the index. [The  $\bar{2}22$  planes included for bcc are equivalent to  $(\bar{1}11)$  planes.]

※모든 격자점은 동등한 주위 환경을 가지므로  
모두 원점이 될 수 있다.  
→ 기준축의 설정이 관건



※ 격자면 (lattice plane) vs. 결정면 (crystal plane)

- 격자면 :  $(h \ k \ l) \neq (nh \ nk \ nl) \rightarrow \therefore$  면간격이 다름
- 결정면 :  $h, k, l$  이 공약수를 갖지 않도록 표현  $\rightarrow$  평행한 면들의 대표  
 $(h \ k \ l) = (nh \ nk \ nl)$

※ 면족 (group, family) or 면형 (form)

$\Rightarrow \{h \ k \ l\}$  로 표시

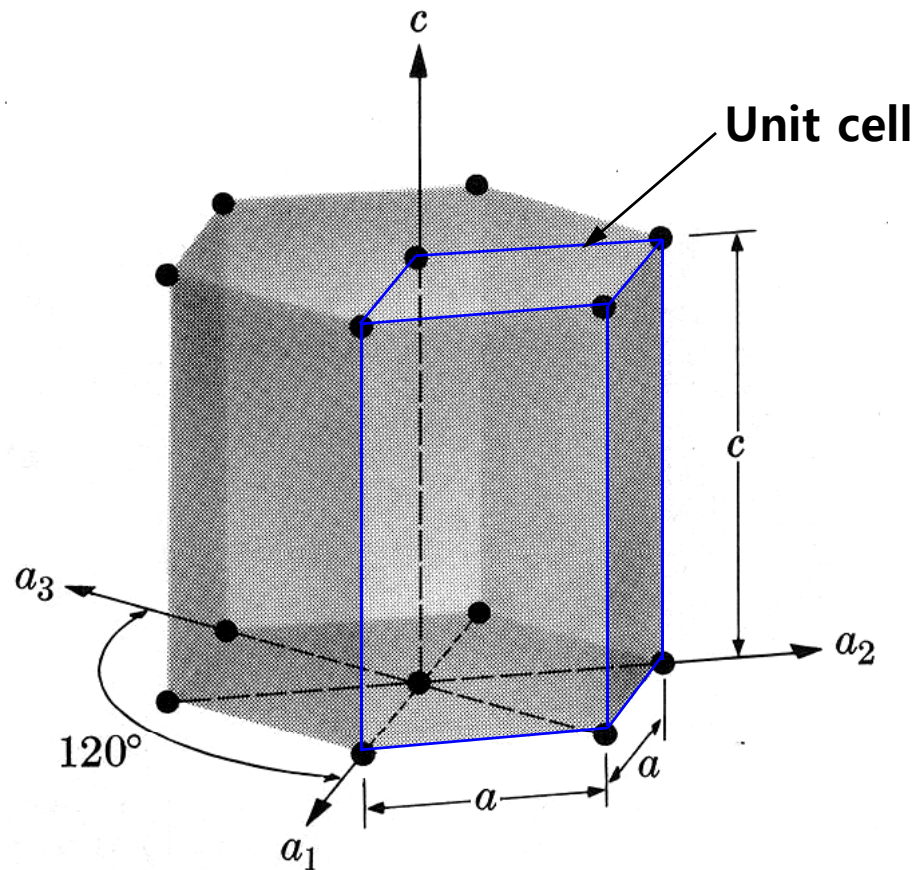
예) 단순 입방정  $\{100\} \rightarrow$  6개 동가면 ( $\therefore$  4개의 3회 회전대칭에 의해)  
 $(100), (010), (001)$   
 $(\bar{1}00), (0\bar{1}0), (00\bar{1})$

단순 정방정  $\{100\} \rightarrow$  4개 동가면 ( $\therefore$  4회 회전대칭에 의해)  
 $(100), (010), (\bar{1}00), (0\bar{1}0)$

$\{001\} \rightarrow$  2개 동가면 ( $\therefore$  2회 회전대칭에 의해)  
 $(001), (00\bar{1})$

$\Rightarrow$  다중도 (multiplicity) : 면족에 속하는 격자면의 수

# hcp

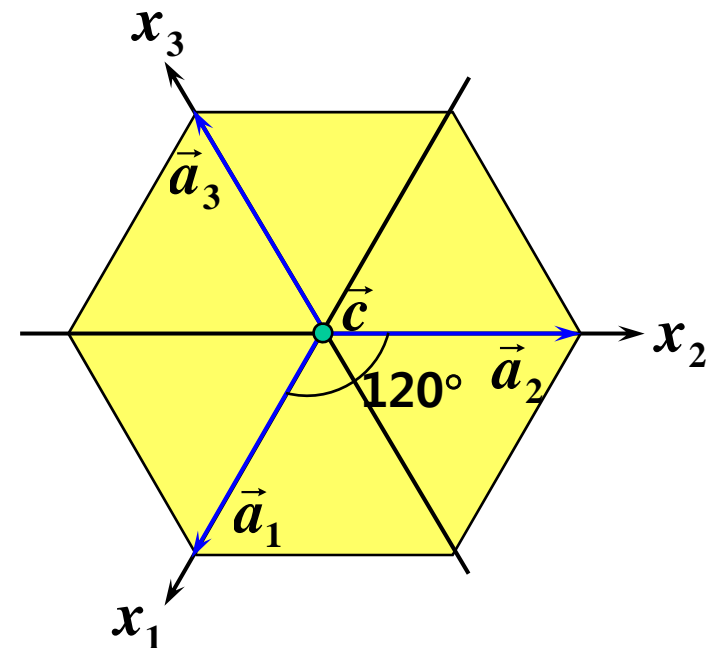


$$a_1 = a_2 \neq c$$

$$a = b = 90^\circ \neq \gamma = 120^\circ$$

4축 좌표계로 표현

$$a_1 = a_2 = a_3 \neq c$$

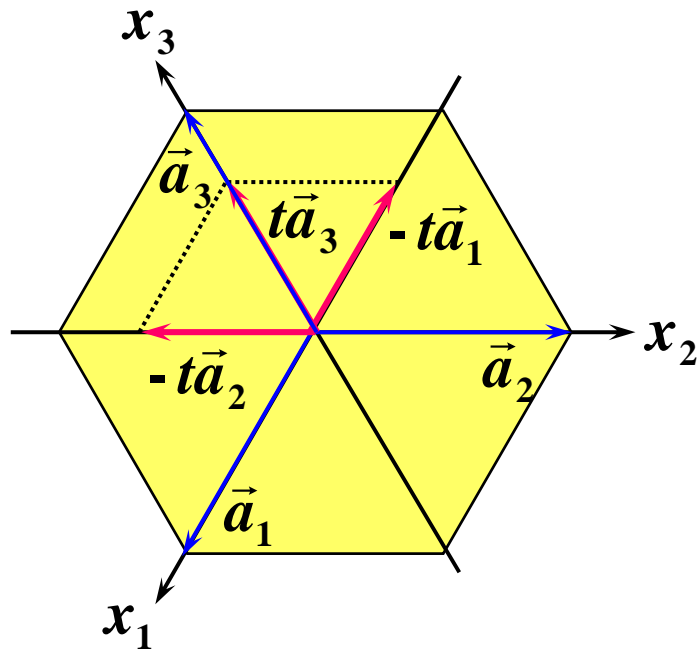


⇒ Miller-Bravais 지수 (4개의 지수) 이용

• 격자방향 (lattice direction)

3축 좌표계 →  $[U \ V \ W]$

4축 좌표계 →  $[u \ v \ t \ w]$



$$|\vec{a}_1| = |\vec{a}_2| = |\vec{a}_3|$$

$$\begin{aligned} U &= u - t & u &= \frac{1}{3}(2U - V) \\ V &= v - t & v &= \frac{1}{3}(2V - U) \\ W &= w & t &= -(u + v) = -\frac{1}{3}(U + V) \end{aligned}$$

2차원 상에서

3축 좌표계 :  $\vec{r} = U\vec{a}_1 + V\vec{a}_2$

4축 좌표계 :  $\vec{r} = u\vec{a}_1 + v\vec{a}_2 + t\vec{a}_3$

⇒  $t\vec{a}_3$  를  $x_1$  방향과  $x_2$  방향으로 분해

$$t\vec{a}_3 = -(t\vec{a}_1 + t\vec{a}_2)$$

$$\begin{aligned}
 \therefore \vec{r} &= u\vec{a}_1 + v\vec{a}_2 + t\vec{a}_3 = u\vec{a}_1 + v\vec{a}_2 - (t\vec{a}_1 + t\vec{a}_2) \\
 &= (u - t)\vec{a}_1 + (v - t)\vec{a}_2 \\
 &\equiv U\vec{a}_1 + V\vec{a}_2
 \end{aligned}$$



$$\begin{aligned}
 U &= u - t \\
 V &= v - t \\
 W &= w
 \end{aligned}$$

$$\begin{aligned}
 U + V &= (u - t) + (v - t) = (u + v) - 2t \\
 &= -3t \quad (\because t = -(u + v)) \\
 \therefore t &= -\frac{1}{3}(U + V)
 \end{aligned}$$



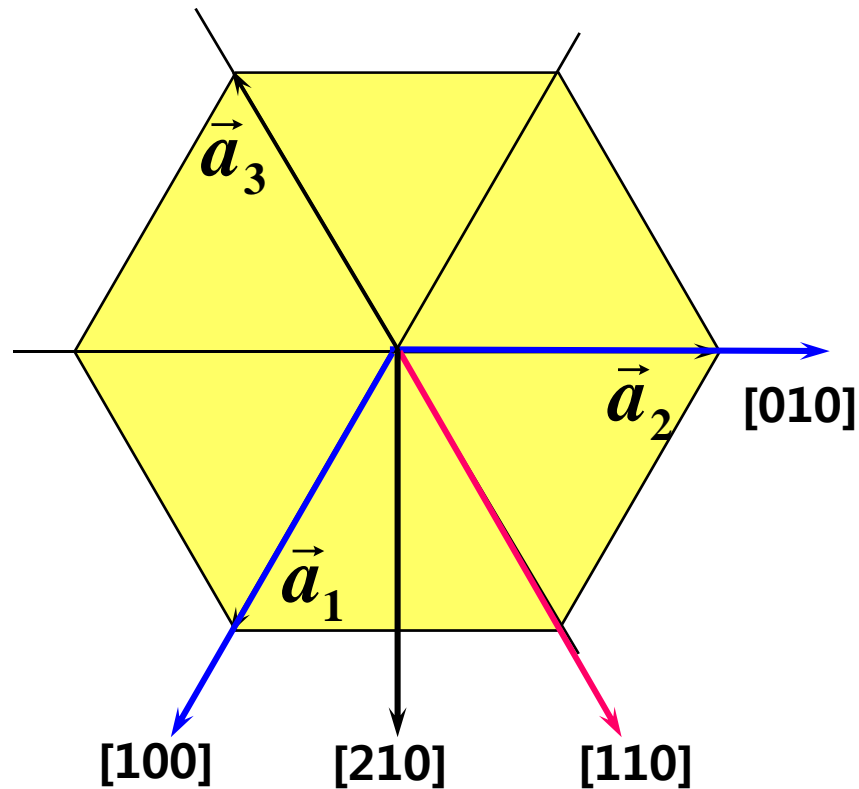
$$\begin{aligned}
 u &= U + t = U - \frac{1}{3}(U + V) = \frac{1}{3}(2U - V) \\
 v &= V + t = V - \frac{1}{3}(U + V) = \frac{1}{3}(2V - U)
 \end{aligned}$$

$$u = \frac{1}{3}(2U - V)$$

$$v = \frac{1}{3}(2V - U)$$

$$t = -(u + v) = -\frac{1}{3}(U + V)$$

※ 육방정계의 방향은 3축 좌표계 (Miller 지수)를 이용하는 것이 편리



3축 좌표계	4축 좌표계
$[100]$	$[2\bar{1}\bar{1}0]$
$[210]$	$[10\bar{1}0]$
$[110]$	$[11\bar{2}0]$
$[010]$	$[\bar{1}2\bar{1}0]$



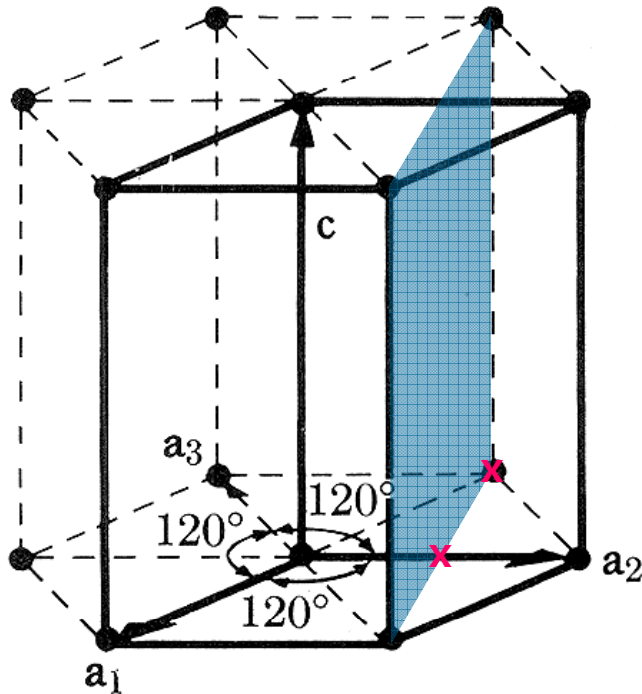
⇒ Miller-Bravais 지수 (4개의 지수) 이용

• 격자면 (lattice plane)

3축 좌표계 →  $(h\ k\ l)$

4축 좌표계 →  $(h\ k\ i\ l)$

$$h + k = -i$$



	$a_1$	$a_2$	$c$
거리비 →	-1	1/2	$\infty$
역수비 →	-1	2	0

$$\therefore h = -1, k = 2, l = 0$$

$$h + k = 1 = -i$$

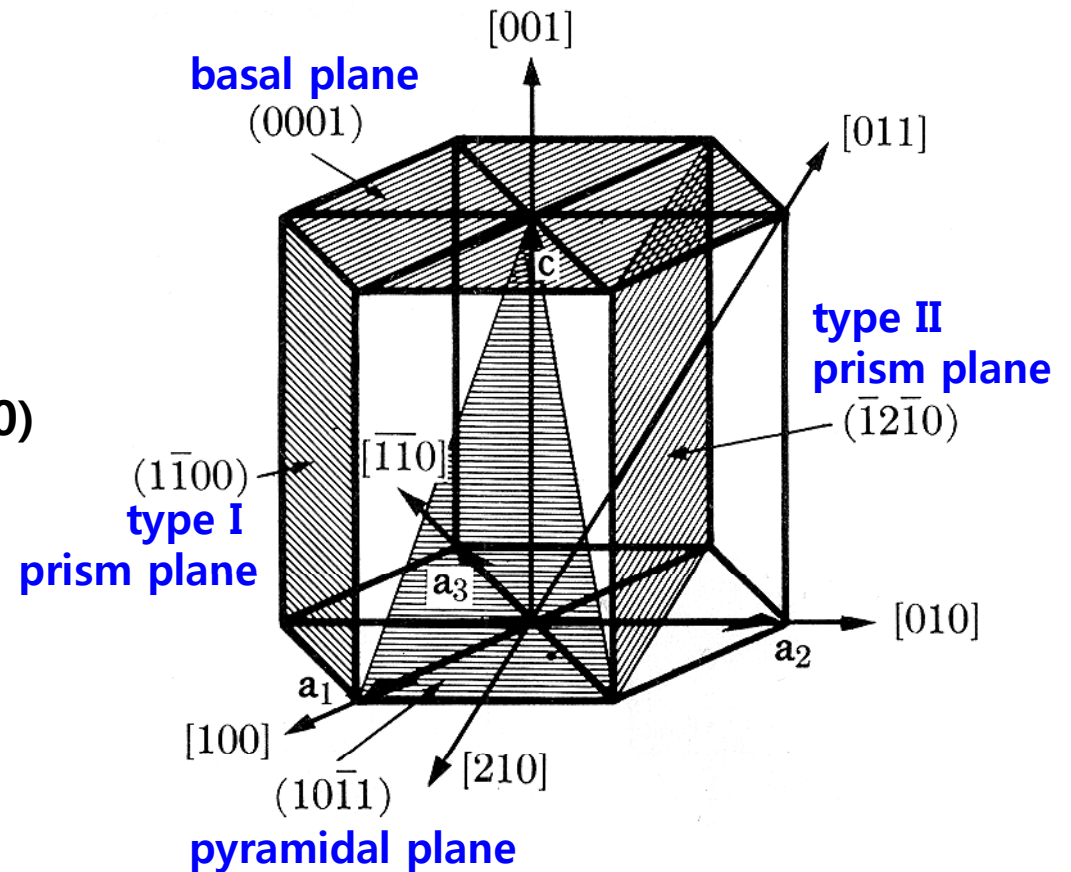
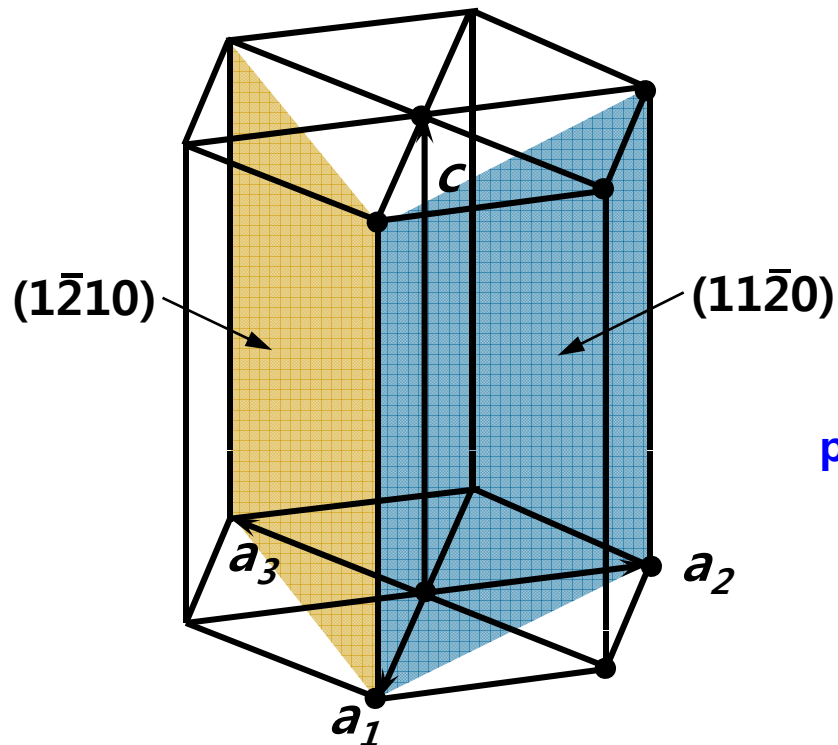
$$\therefore i = -1$$

⇒ Miller-Bravais 지수 =  $(\bar{1}2\bar{1}0)$

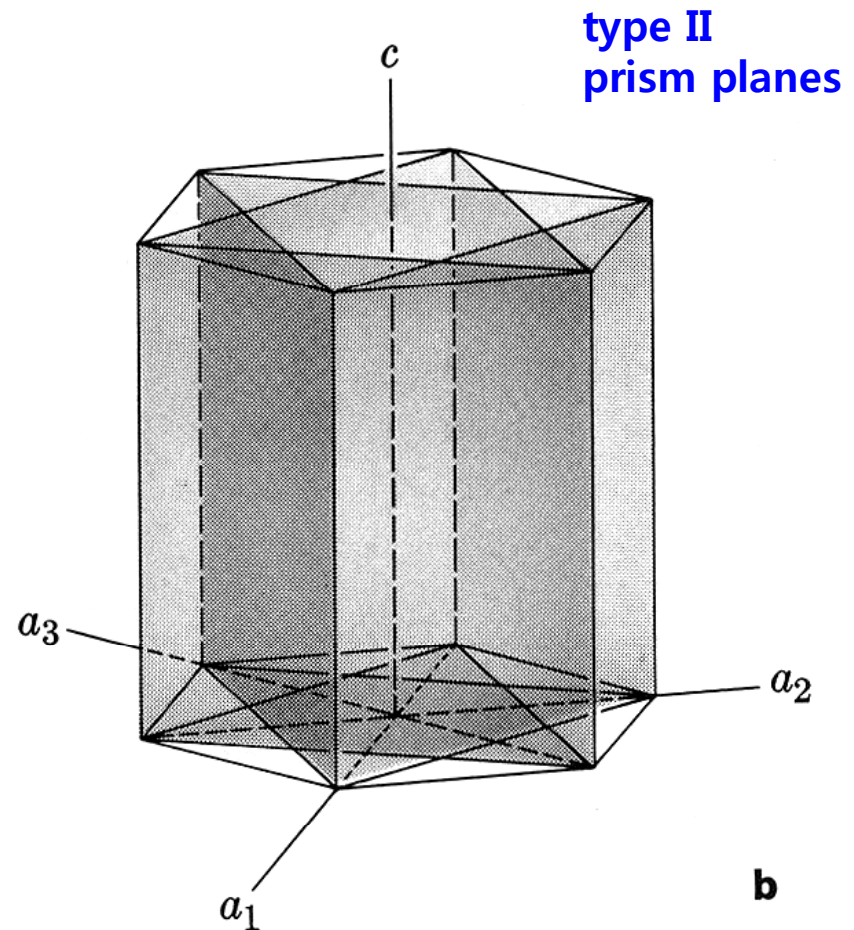
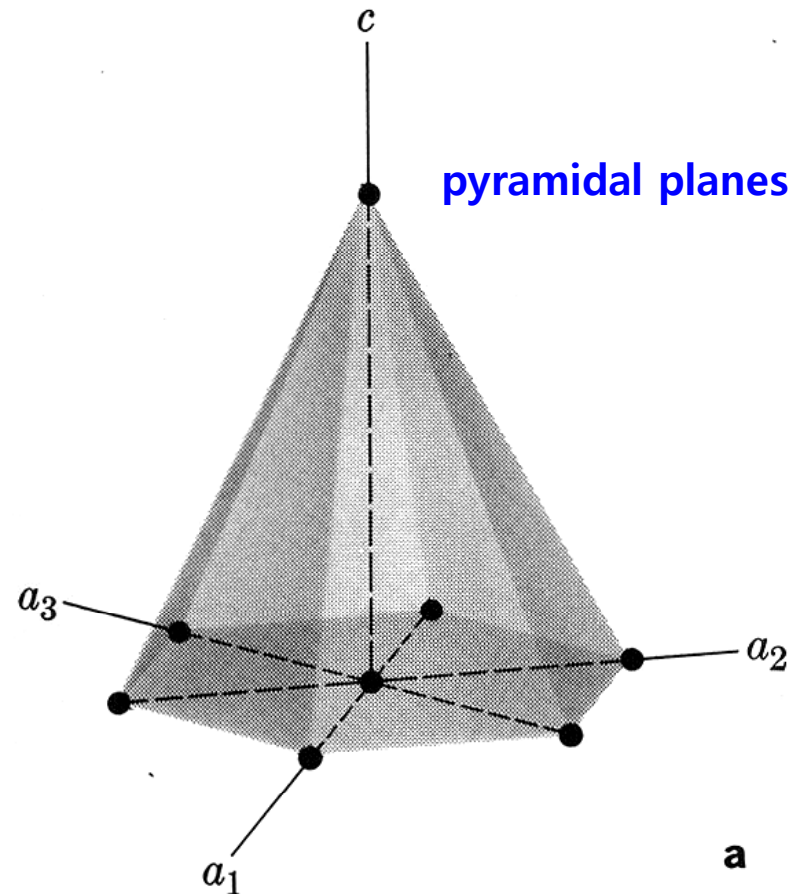


- 육방정계의 격자면은 Miller-Bravais 지수를 이용하는 것이 유리  
→ 동가의 격자면 표현에 편리 예) (1120), (1210)

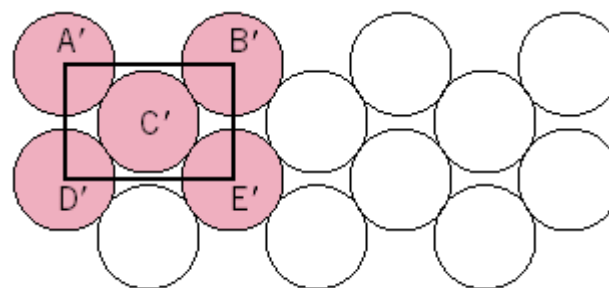
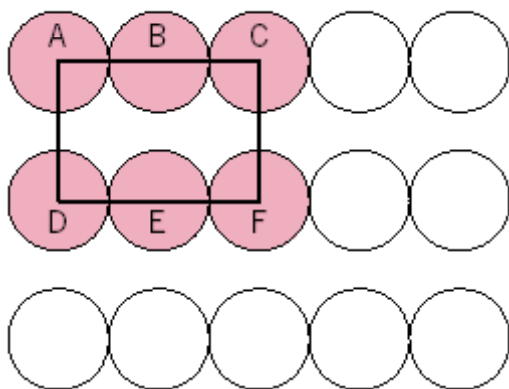
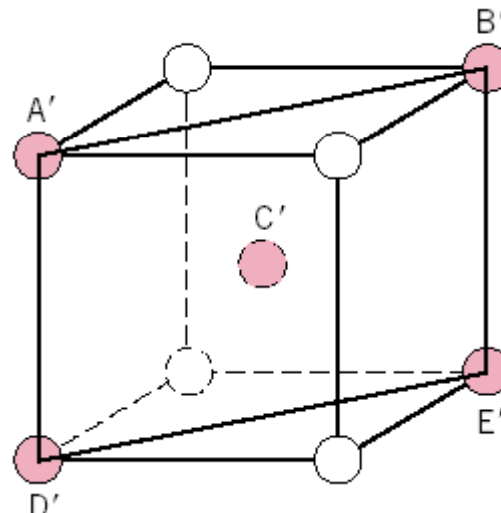
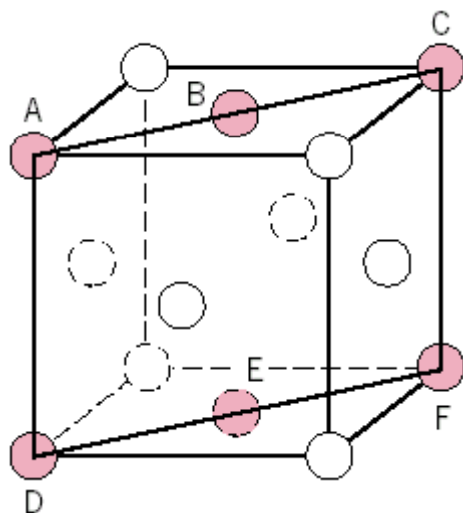
M-B → Miller  
 $(11\bar{2}0)$  → (110)  
 $(1\bar{2}10)$  → ( $\bar{1}20$ )



# family/form



**5-20** Miller-Bravais indices. (a)  $\{10\bar{1}1\}$  form. This form also includes six more planes which produce an inverted hexagonal pyramid below the basal plane. (b)  $\{11\bar{2}0\}$  form. The form includes  $(11\bar{2}0)$ ,  $(1\bar{2}10)$ ,  $(\bar{2}110)$ ,  $(\bar{1}\bar{1}20)$ ,  $(\bar{1}2\bar{1}0)$ , and  $(2\bar{1}\bar{1}0)$  planes to complete a hexagonal prism. The unit cell is enclosed by  $\{10\bar{1}0\}$  and  $\{0001\}$  planes.



(110) 격자면

# Crystalline / noncrystalline

- 단결정 (single crystal)

- 전체 고체 결정내의 원자의 주기적, 규칙적 배열에 전혀 결함이 없는 경우
- 성장이 어려움

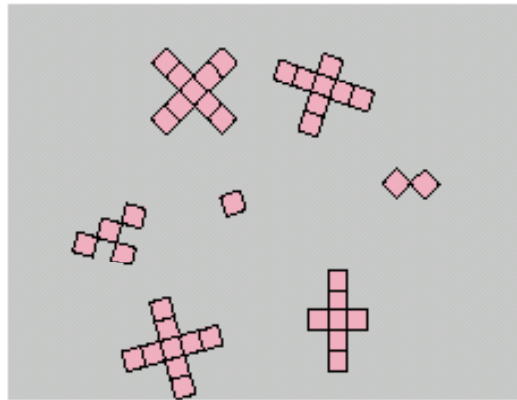


**FIGURE 3.32** Photograph showing several single crystals of fluorite,  $\text{CaF}_2$ . (Smithsonian Institution photograph number 38181P.)

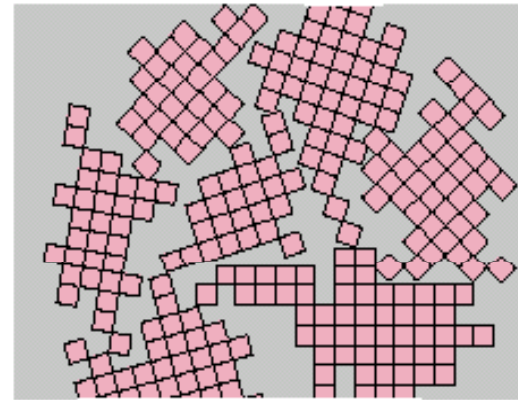
- 다결정 (polycrystal)

→ 여러 개의 결정립(grain)들로 이루어진 결정체

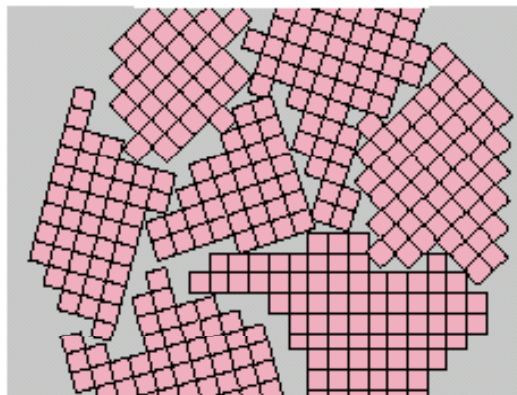
→ 결정립계(grain boundary) 형성



(a)



(b)



(c)



(d)



- 이방성 (anisotropy)

- 물성이 결정학적 방위에 따라 달라지는 **방향성**
- 결정학적 방위에 따라 원자 또는 이온 간격이 달라지는 것에 관계
- 결정의 이방성은 결정구조의 대칭성에 의존
  - ⇒ 대칭성 ↓ → 이방성 ↑ ( $\therefore$  삼사정 → 이방성이 큼)
- 단결정에서 잘 나타나며
  - 다결정에서는 결정립의 무작위 배열로 **등방성 (isotropic)**을 띠
- 선택적 우선배향을 한 다결정 ⇒ **집합조직 (texture)**

**Table 3.7** Modulus of Elasticity Values for Several Metals at Various Crystallographic Orientations

<i>Metal</i>	<i>Modulus of Elasticity (GPa)</i>		
	<i>[100]</i>	<i>[110]</i>	<i>[111]</i>
Aluminum	63.7	72.6	76.1
Copper	66.7	130.3	191.1
Iron	125.0	210.5	272.7
Tungsten	384.6	384.6	384.6

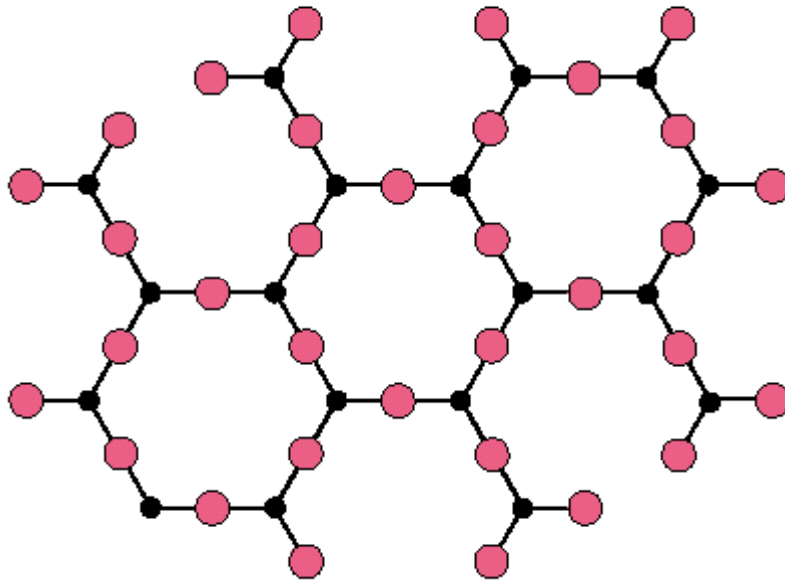
**Source:** R. W. Hertzberg, *Deformation and Fracture Mechanics of Engineering Materials*, 3rd edition. Copyright © 1989 by John Wiley & Sons, New York. Reprinted by permission of John Wiley & Sons, Inc.

- 비정질 (noncrystalline materials)

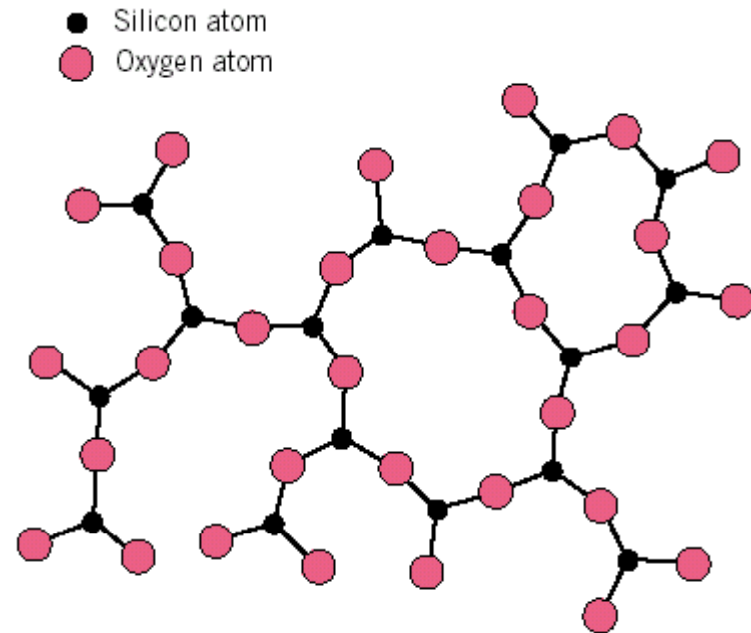
→ 고체 결정내의 원자배열에 주기성, 규칙성이 적은 경우

→ amorphous 또는 supercooled liquids

예)  $\text{SiO}_2$

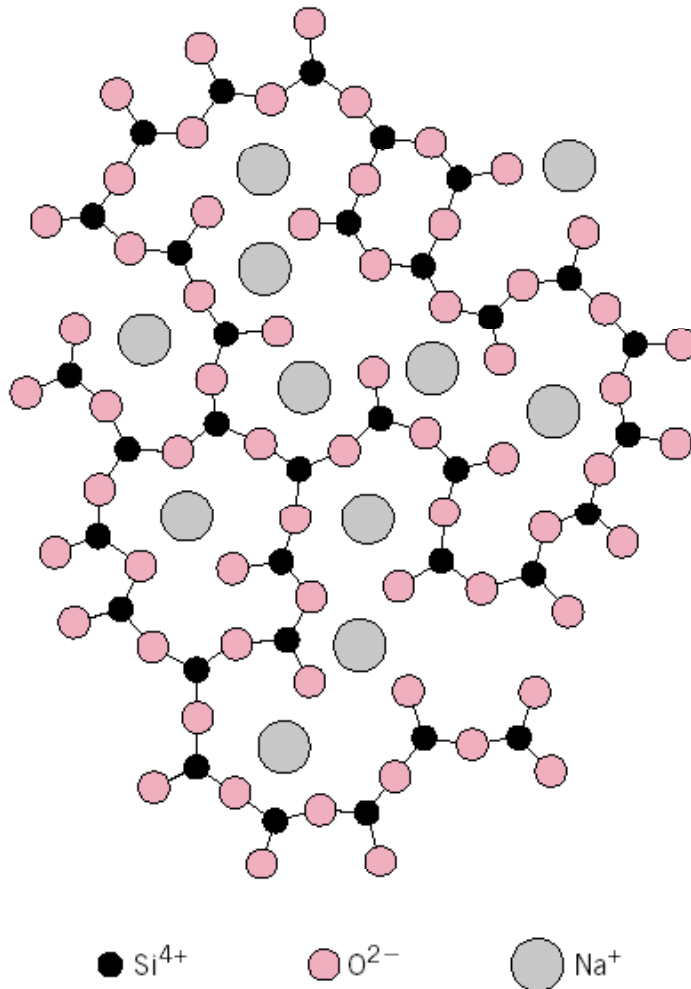


결정질  $\text{SiO}_2$



비정질  $\text{SiO}_2$

# Silica Glasses



→ 비정질 silica (SiO<sub>2</sub>)

→ fused silica 또는 vitreous silica

## Network modifier

→ 양이온이 network을 조절

→ CaO, Na<sub>2</sub>O

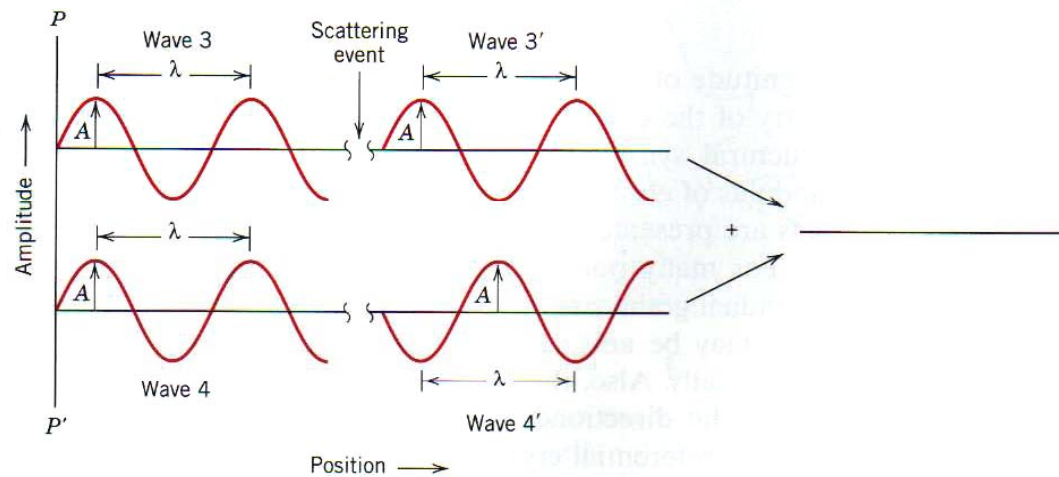
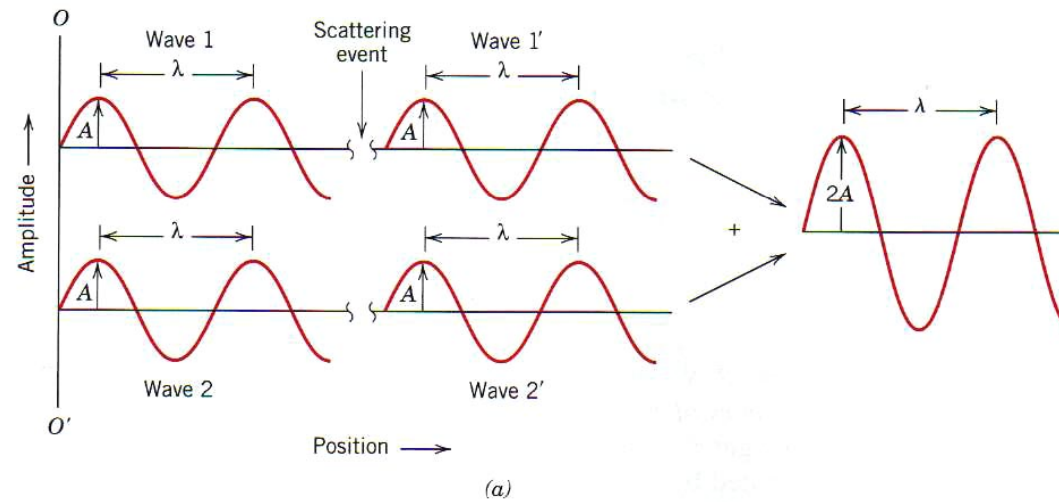
## Intermediates

→ Si를 대체, network을 안정화

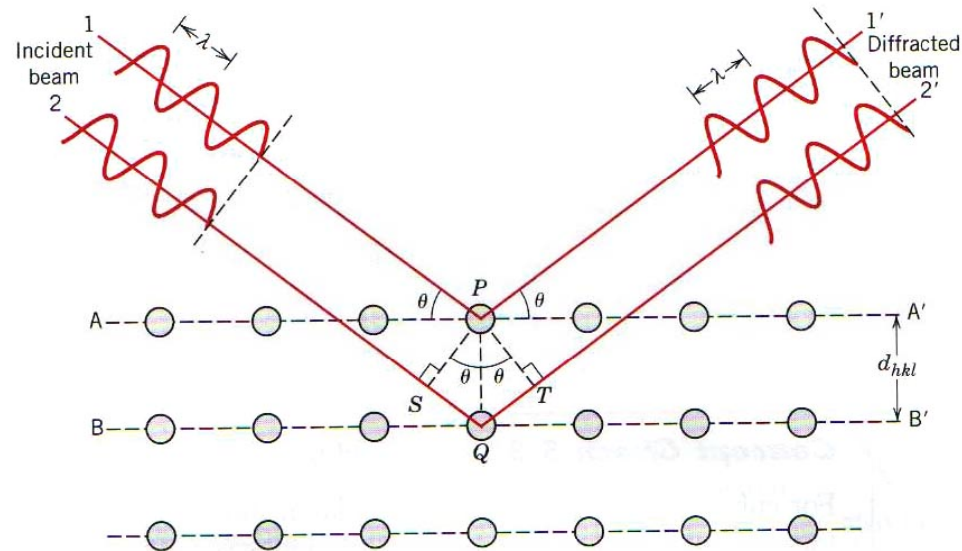
→ TiO<sub>2</sub>, Al<sub>2</sub>O<sub>3</sub>



# X-ray Diffraction

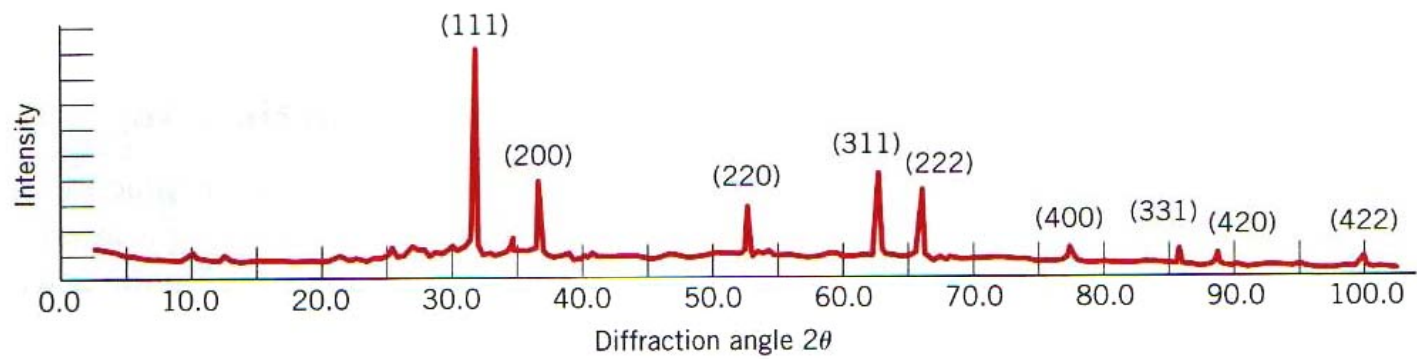
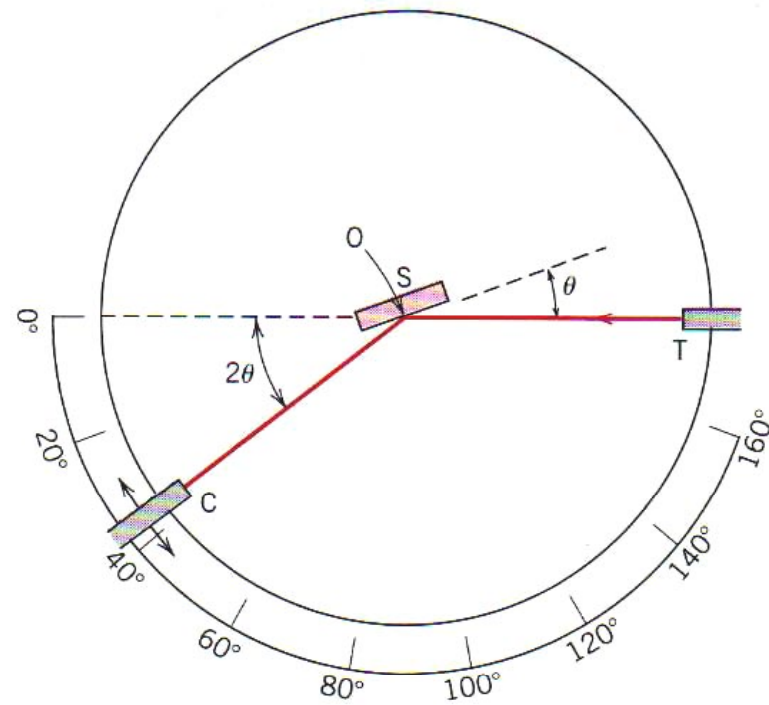


# Bragg's Law



$$\begin{aligned}
 n\lambda &= \overline{SQ} + \overline{QT} \\
 n\lambda &= d_{hkl} \sin \theta + d_{hkl} \sin \theta \\
 &= 2d_{hkl} \sin \theta
 \end{aligned}$$

$$d_{hkl} = \frac{a}{\sqrt{h^2 + k^2 + l^2}}$$



**Ex) The lattice parameter of Fe = 0.2866 nm,  
 $\lambda$  of X-ray source = 0.1790nm**

$$d_{hkl} = \frac{a}{\sqrt{h^2 + k^2 + l^2}}$$

$$d_{hkl} = \frac{0.2866}{\sqrt{2^2 + 2^2 + 0^2}} = 0.1013nm$$

$$\sin \theta = \frac{n\lambda}{2d_{hkl}} = 0.884$$

$$\theta = \sin^{-1}(0.884) = 62.13^\circ$$